

東京大学工学部 正会員 ○伊藤 学
 同 同 田中 宏
 日本国鉄道 同 橋口 誠之

1. 研究の目的と内容

構造断面のまわりの流線の状態を観察し、作用する空気力およびそれによつて生ずる振動現象との関連を考察することを目的として煙風洞を設置し、模型実験を行なつた。今回対象とした構造断面は図-2のようす單純なものであり、未だ実験的考察を主とする予備実験の域を出ないが、筆者らが行なつてゐる、構造物の耐風設計に関する一連の研究に対する一つの基礎資料として役立てたいと考えてゐる。ここには後流中の渦の発生状況、物体まわりの流線の状況を中心へ報告する。

2. 煙風洞の概要

風洞の構造概要是図-1に示すとおりで、測定部寸法は幅110mm、高さ90cm、長さ150cmである。測定部における最大風速は 10 m/sec で、送風機には多翼型を用い、風量 $55 \text{ m}^3/\text{分}$ 、静圧 20 mmHg 、駆動する電動機の出力3HP、回転数 $650 \sim 2000 \text{ rpm}$ である。気流は集合筒から8枚の整流スクリーンを通して縮流筒へ流れ、縮流筒吸口位置に設置された煙ノズルから白煙を伴つて測定部、拡散筒を経て送風機に至り、吹込式のエッフェル型風洞である。送風機で出た気流は排気ダクトを通じて屋外へ排出された。

煙ノズルは流線形断面の煙導管に35本の黄銅管製、取外し可能なノズルを梯型に配置しており、各ノズルは風洞軸と平行で位置を上下に移動できる。煙発生装置から供給される煙は上下二方向から煙導管に流入する。煙発生装置では電熱により白灯油を蒸発させ、この蒸気に空気を吹込んで白煙とし、これを供給してゐる。煙の現れす流線は35本で、その間隔は中央部で 10 mm 、その他 20 mm である。

測定部の側壁の片面
 $90 \text{ cm} \times 50 \text{ cm}$ のガラス窓部があり流線の観察が行なわれ、他の面には模型迎角の変角装置があつて、最大 $\pm 45^\circ$ の回転が可能である。
 一方、上下壁板に沃素ランプが設置され、流線を照明するようになつておらず、写真撮影ができる。

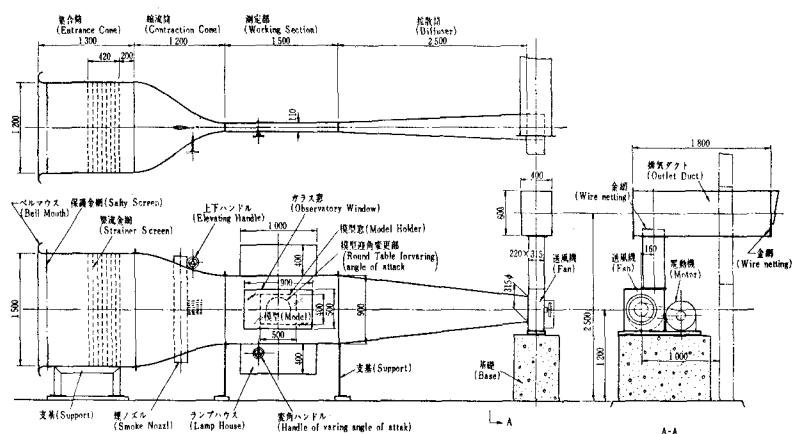


図-1 煙風洞の一般図

3. 実験の対象と方法

実験に用いた模型の断面形状は図-2に示す、円形、箱形、H形、□形の4種で、縦横比 b/D は $0.1, 0.2, 0.3$ の3段階に変化させた。模型記号は、たとえば $b/D = 0.2$ 及び箱形断面を □20 のように名付ける。寸法体 $D = 50\text{mm}$, b は後流の状況を見るためのもので 40mm , 物体まわりの流線を見たためのもう 150mm の2種を用いた。箱形断面についてのみ $b/D = 0.02$ のもうも作成し、これを平板とみなした。

風向は図-3における角度 ϕ で示す。したがって $\phi = -90^\circ \sim +90^\circ$ の範囲で実験を行なった。実験風速は $V = 0.4 \sim 4.3 \text{ m/sec}$ で、レインルス数にして $1.1 \times 10^3 \sim 1.2 \times 10^4$ の範囲である。

後流中の渦の発生周波数はストロボ発光器により測定し、流線の考察は写真撮影の結果によった。

4. 実験結果とその考察

(1) 後流中の渦 …… 風に対する曝露面積の小さい場合を除き、いずれも明瞭な後流中の渦の発生が認められ、その周波数は風速に比例する。すなわちストローハル数 $S = ND/V$ はほぼ一定であり、表-1に示すように実験値は Nökkentvet によって予えられた値に従う場合ほぼ一致する。S値は風向方向の物体幅にはほとんど関係なく、断面の高さだけの影響される。

迎角とストローハル数の関係を示す例が図-4で、一般に $\phi = 20^\circ$ 附近と $40 \sim 60^\circ$ の2個所に極大値があり、後者における S 値が最大となる。もちろん

この点で D の値がもっとも大きくなる

ことに もよるが、後者の物体まわりの流線の状況とも関連する現象である。

断面形状別では、箱形が S が比較的大、□ ($\phi < 0$) がこれに続き、H および □ ($\phi > 0$) では比較的小さくなる。また、 b/D の影響は H ではほとんどないが、□ および □ では b/D 大なるほど S は大きい、これは抗力係数の減少傾向とも関連がある。

I形断面と向隅 d 並列した場合の渦の周波数

は図-5のようになり、向隅が杆高にはほどよいときには最大値が、向隅が一フランジ幅の10倍ぐらいうときには最小値が現れ、向隅が杆高の数倍に達すれば風上側の構造物の影響はほとんどなくなる。又お周波数が最小になる向隅を境として、風上側断面の背面に流線が入り込み、兩断面に向ても渦が発生するようになる。

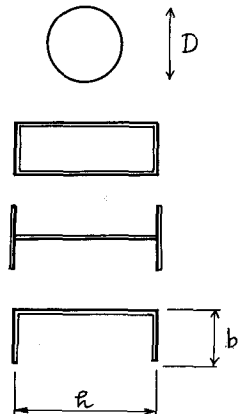


図-2 実験断面

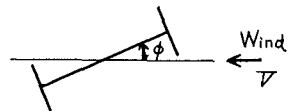


図-3 迎角の定義

断面	○	I	□	[←]	[→]
実験結果	0.223	0.153	0.147	0.143	0.150
Nökkentvet	0.2 ($Re=10^4$)	0.184 ~0.185	0.145	0.140 ~0.145	0.153 ~0.168

表-1 ストローハル数 : S

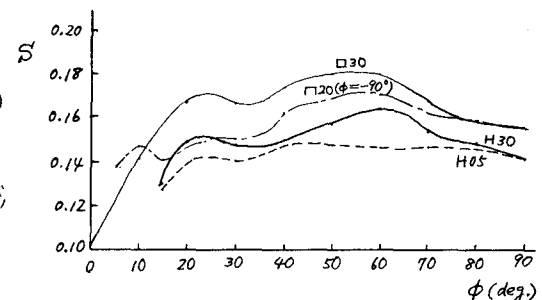


図-4 風向ヒストローハル数

(2) 後流中の渦線の状況 …… 内筒について実験例も多く、理論的にもかなりよく知られていますが、本実験でも半径 a) に見えたところ、流速が大きくなるにつれて渦層の領域も拡大し、渦列は下流へ進むにつれて拡がり直後の 10 倍以下となり、ついで消滅する。片列の渦間隔は約 18 cm (直後の 3.6 倍) で、これは他のすべての形状 ($h = 4 \text{ cm}$ の場合) についてほぼ共通している。

I 形断面 (H における $\phi = 90^\circ$ の場合) や箱形、△形では b/R の影響は顕著でないといふ、2 つめの図から、渦は明瞭に認められにくいため、渦層の幅は下流 $10D$ (図-6 参照) 付近で $D'' = 5D$ であるといえども共通して認められた [字原参考]。

渦向距離 a 、物体直後の渦層の幅 D' 、
10D 下流での渦層の幅 D'' はいずれも、だい
たが流れ方向の投影面積に比例する傾向があ
る、特に迎角による結果誤差はない。内筒に
対する Kármán の理論から求めた渦列間隔
 $b = 0.28/a$ (図-6) をそのまま用いれば
 $b/D' = 0.7 \sim 0.8$ となる。

(3) 物体周囲の流線の状況

上流側の渦点 (図-7 の Z_2 点) は、平板に
おいてはポテンシャル流理論の結果とよく合う
。下流側でも迎角中が小さい範囲では理想流体
と似かよつて流線状態を示すが、中が大きくな
ると渦層内に乱れが生じ、この実験では渦ばかり
大きくなつた。

他箱形、H 形、△形断面では渦点の迎角
によって変化する。渦点が断面の稜角上に近く迎角は $b/R = 0.1 \sim 0.3$ の範囲では $\phi = (\pm) 25^\circ \sim 40^\circ$ であって、△ ($\phi < 0$)、□そして H, △ ($\phi > 0$) の順に小さくなり、同じ形状では b/R の小さなほど小さい。これは空気力係数曲線 (特に揚力係数) の性質とも関連がある。また、この角度 ϕ は図-4 の中一式曲線の変曲点に相当する。

H, △ のような断面では迎角が大きくなると、図-8 (a) に示すように風上側稜角部で剥離した流線は断面の凹部に入りこむようになり、さらに迎角が増せば渦点が凹部に向く。前者の限界迎角は本実験では $\phi = 30^\circ \sim 60^\circ$ 、後者の限界は $\phi = 60^\circ \sim 80^\circ$ である。いずれの場合も b/R が大きいほどこ

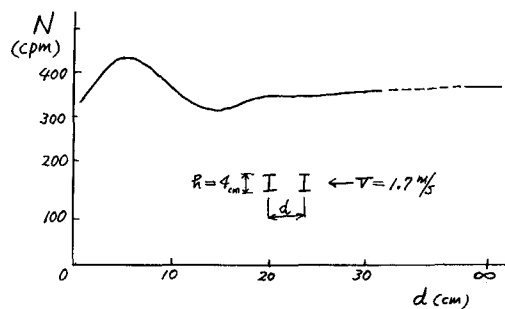


図-5 並列工断面後流中の渦の周波数

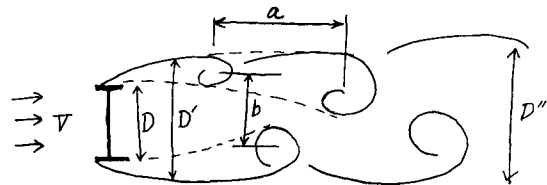


図-6 渦の発生

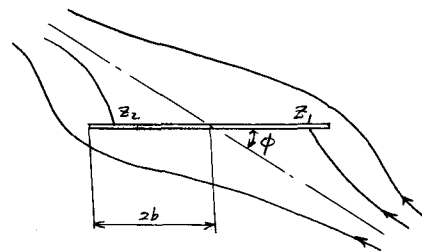


図-7 平板のまわりの流れ

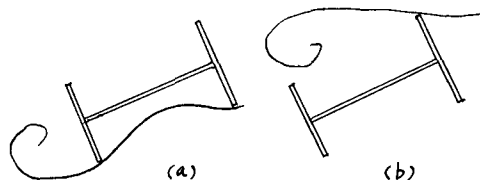
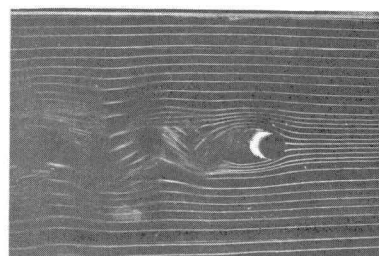


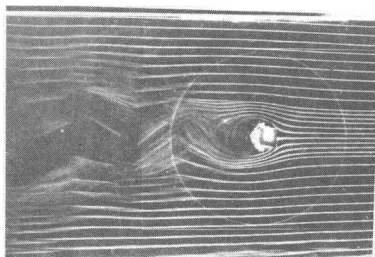
図-8 H 断面における渦の生成

の角部は大で、H断面の方が凹部が浅いため、同じ
V形の口断面より角度は小さい。渦の発生状況は図
-8のような場合、当然上縁より発生する状況と下
縁より発生する状況は異なり、また渦の発生初期の
状況も、渦が発達して定常化した状態とは相違があ
る。多くの例についてはスライドにて報告する。

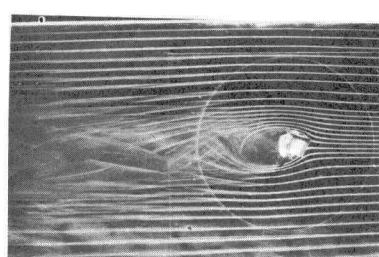
[写真] 煙風洞実験における流線の状況



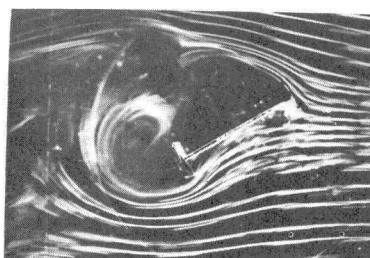
(a) 内断面, $V = 2.1 \text{ m/s}$



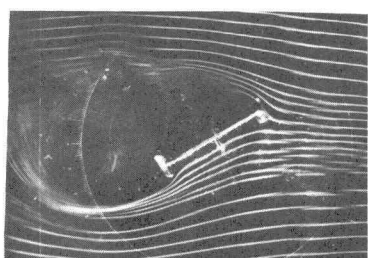
(b) $H\ 30$, $\phi = 90^\circ$, $V = 1.7 \text{ m/s}$



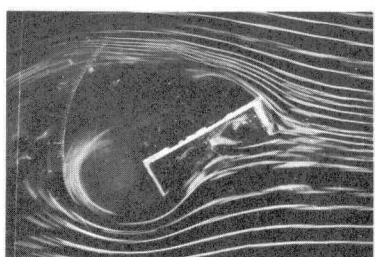
(c) $H\ 30$, $\phi = 90^\circ$, $V = 3.1 \text{ m/s}$



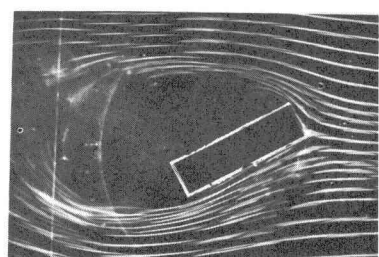
(d) $H\ 30$, $\phi = 30^\circ$, $V = 1.6 \text{ m/s}$



(e) $H\ 20$, $\phi = 30^\circ$, $V = 1.6 \text{ m/s}$



(f) $\square\ 30$, $\phi = 30^\circ$, $V = 1.6 \text{ m/s}$



(g) $\square\ 30$, $\phi = 30^\circ$, $V = 1.6 \text{ m/s}$